

## ДИСТАНЦИОННОЕ ЗОНДИРОВАНИЕ АТМОСФЕРЫ, ГИДРОСФЕРЫ И ПОДСТИЛАЮЩЕЙ ПОВЕРХНОСТИ

УДК 551.501.793, 551.510.53

# Спектроскопические измерения содержания $O_3$ и $NO_2$ в атмосфере: коррекция наземного метода и результаты сопоставления с данными спутниковых измерений

Д.В. Ионов, Ю.М. Тимофеев, А.В. Поберовский\*

Санкт-Петербургский государственный университет  
198504, г. Санкт-Петербург, Петродворец, ул. Ульяновская, 1

Поступила в редакцию 2.04.2015 г.

Представлены результаты ежедневных наблюдений за общим атмосферным содержанием  $O_3$  и  $NO_2$  в районе Санкт-Петербурга на основе автоматизированных наземных зенитных измерений спектров рассеянного видимого солнечного излучения. Проведено сопоставление результатов наблюдений в 2009–2013 гг. с данными спутниковых измерений приборами GOME (ERS-2), SCIAMACHY (ENVISAT) и OMI (AURA). Анализ выявленных расхождений между данными спутниковых и наземных измерений позволил усовершенствовать наземный метод (методика DOAS), сократив средние расхождения до ~2 и ~20% для содержаний  $O_3$  и  $NO_2$  соответственно. Оставшиеся расхождения могут быть устранены при учете сезонной изменчивости рассчитываемых факторов воздушной массы в наземном методе.

**Ключевые слова:** DOAS-измерения, содержание  $O_3$  в атмосфере, содержание  $NO_2$  в атмосфере; DOAS measurements,  $O_3$  atmospheric content,  $NO_2$  atmospheric content.

### Введение

Долговременные высокоточные измерения атмосферного содержания озона  $O_3$  и двуокиси азота  $NO_2$  представляют интерес в связи с актуальной задачей выявления возможных естественных и антропогенных изменений газового состава стратосферы. Одним из методов наблюдений, позволяющих осуществлять эффективный мониторинг этих атмосферных составляющих в различных регионах земного шара и разнообразных погодных условиях, является наземная спектрометрия рассеянного из зенита УФ- и видимого солнечного излучения.

В частности, в рамках международной сети NDACC (Network for the Detection of Atmospheric Composition Change, <http://www.ndacc.org>) уже несколько десятилетий функционирует сегмент измерений в УФ- и ВО (УФ- и видимая области спектра, UV-visible network), состоящий из более чем 35 сертифицированных наземных приборов, размещенных по всему земному шару и выполняющих непрерывные наблюдения за атмосферным содержанием  $O_3$  и  $NO_2$ . NDACC (бывшая NDSC: Network for the Detection of Stratospheric Change) представляет собой глобальную сеть станций долговременных

наблюдений газового состава атмосферы. Среди приборов NDACC группы УФ-ВО-измерений ведущая роль принадлежит сети станций, оснащенных французской аппаратурой SAOZ (Système d'Analyse par Observation Zénithale [1]). SAOZ представляет собой дифракционный спектрометр с многоканальным фотоприемником излучения типа ПЗС (прибор с зарядовой связью), осуществляющий измерения рассеянного из зенита УФ- и видимого солнечного излучения. Основной режим наблюдений SAOZ – утренние и вечерние измерения на восходе и заходе Солнца, в сумерки. Начиная с конца 80-х – начала 90-х гг. приборы SAOZ, а также аналогичная им по геометрии и принципу измерений аппаратура были установлены на многих станциях (см., например, <http://saoz.obs.uvsq.fr>). В частности, на территории бывшего СССР подобные регулярные измерения были начаты на Иссык-Куле в Киргизии [2], в Звенигороде [3], а также в Салехарде и Жиганске [4].

С 2004 г. регулярные наблюдения за атмосферным содержанием  $O_3$  и  $NO_2$  на основе зенитных измерений рассеянного видимого излучения выполняются и в Санкт-Петербурге, в НИИ физики им. В.А. Фока (НИИФ) СПбГУ (Петродворец) [5]. В настоящей статье проведено сопоставление результатов ежедневных наземных измерений с одновременными спутниковыми данными о содержании  $O_3$  и  $NO_2$  в районе Санкт-Петербурга, получены оценки их взаимного согласия, определены и устраниены некоторые причины наблюдаемых расхождений.

\* Дмитрий Викторович Ионов ([ionov@troll.phys.spbu.ru](mailto:ionov@troll.phys.spbu.ru));  
Юрий Михайлович Тимофеев ([tim@JT14934.spb.edu](mailto:tim@JT14934.spb.edu));  
Анатолий Васильевич Поберовский ([avprob@troll.phys.spbu.ru](mailto:avprob@troll.phys.spbu.ru)).

## 1. Методика и аппаратура наземных измерений

Используемый авторами метод наблюдений и основные элементы методики интерпретации результатов измерений для определения атмосферных содержаний  $O_3$  и  $NO_2$  подробно изложены ранее [5]. Следует отметить, что спектральная аппаратура, описанная в [5], была в дальнейшем существенно модернизирована. Ниже рассмотрены характеристики аппаратуры, применяемой авторами для непрерывных измерений с начала 2009 г., а также некоторые особенности методики их интерпретации, не представленные ранее [5]. К последним нужно отнести следующие.

1. Одновременное использование в алгоритме спектральных коэффициентов поглощения  $O_3$  и  $NO_2$  при двух различных температурах, 223 и 243 К для  $O_3$  и 220 и 296 К для  $NO_2$ . Данная процедура, являющаяся одной из стандартных опций алгоритма WinDOAS [6], предполагает частичный учет температурной зависимости коэффициентов поглощения с высотой, с тем чтобы выделить основной вклад стрatosферного содержания при температуре  $\sim 220$  К (при этом соответствующие разным температурам коэффициенты принимаются взаимно ортогональными).

2. Учет дополнительных помех, пропорциональных измеряемому сигналу (интенсивности) и обусловленных наличием так называемого паразитного света (засветки) прибора и темнового тока (шума) приемника. Для этого в основное уравнение (закон Бугера–Ламберта–Бера в экспоненциальной форме) включается дополнительный член ( $offset(\lambda)$ ):

$$I(\lambda) - offset(\lambda) = I_o(\lambda) \exp\left(-\sum q_i \sigma_i(\lambda) - P(\lambda)\right). \quad (1)$$

Здесь  $I(\lambda)$  – измеренная интенсивность на длине волны;  $I_o(\lambda)$  – референтный (опорный) спектр;  $q_i$  – эффективное содержание  $i$ -й компоненты на трассе распространения излучения;  $\sigma_i(\lambda)$  – спектральный коэффициент поглощения  $i$ -й компоненты;  $P(\lambda)$  – полином вида  $\sum d_k \lambda^k$  для учета вклада рэлеевского и аэрозольного ослабления. При этом параметр  $offset(\lambda)$  задан в форме функции

$$offset(\lambda) = (a + b(\lambda - \lambda_0) + c(\lambda - \lambda_0)^2) \bar{I},$$

где  $\lambda_0$  – центральная длина волны рабочего спектрального интервала;  $\bar{I}$  – средняя интенсивность в интервале;  $a$ ,  $b$  и  $c$  – подбираемые параметры. В алгоритме DOAS, реализованном для интерпретации данных измерений НИИФ СПбГУ начиная с 2009 г., для описания спектральной зависимости параметра  $offset(\lambda)$  используется полином 0-го порядка (т.е. коэффициенты  $b$  и  $c$  заданы нулевыми), а в качестве функции  $P(\lambda)$  – полином 5-й степени.

Основные характеристики спектральной аппаратуры, используемой для регулярных измерений в Санкт-Петербурге (Петродворец) с 2009 г., приведены ниже.

Оптическая схема . . . . .	асимметричная скрещенная Черни–Тернера
Приемник излучения . . . . .	линейка ПЗС из 3648 элементов
Разрядность АЦП . . . . .	14 бит
Ширина входной щели . . . . .	50 мкм
Дифракционная решетка . . . . .	1200 штр./мм
Время регистрации спектра . . . . .	3,8 мс – 60 с
Спектральный диапазон . . . . .	400–610 нм
Спектральное разрешение . . . . .	0,6 нм
Угловое поле зрения . . . . .	10°

Основой прибора является коммерческий спектрометр HR4000 фирмы Ocean Optics Inc. (<http://oceanoptics.com>). В качестве диспергирующего элемента в спектрометре используется голограммическая дифракционная решетка, а приемником излучения служит многоканальный фотоприемник излучения типа ПЗС. По сравнению с применяемой ранее [5] новая измерительная аппаратура характеризуется более широким спектральным интервалом (400–610 вместо 428–515 нм), более высоким спектральным разрешением (~0,6 вместо ~1,3 нм) и существенно меньшим временем регистрации (в среднем 1–3 с вместо 1 мин). В целом основные параметры прибора близки к техническим характеристикам аппаратуры SAOZ (фотоприемник на основе ПЗС, спектральный интервал ~300–600 нм, спектральное разрешение ~1 нм) [1].

Для единства и однородности ряда наземных DOAS-измерений в НИИФ СПбГУ эффективное содержание  $O_3$  и  $NO_2$  определяется в том же спектральном интервале, который использовался при обработке результатов измерений прежней аппаратуры, действующей в период 2004–2009 гг. (428–515 нм). Полученное эффективное (наклонное) содержание преобразуется в искомое вертикальное (общее содержание в вертикальном столбе атмосферы) с помощью моделируемых коэффициентов, так называемых факторов воздушной массы (AMF, air mass factor). Коэффициенты AMF рассчитываются в модели переноса излучения в атмосфере (SCIATRAN [7]) с использованием характерных среднегодовых профилей вертикального распределения  $O_3$  и  $NO_2$ , а также давления и температуры в атмосфере. Серии измерений вертикального содержания, выполненных на восходе и заходе Солнца, усредняются в диапазоне зенитного угла Солнца 90–91° (интервал суммарных измерений сужен в сторону низкого Солнца с тем, чтобы минимизировать возможный вклад антропогенного загрязнения тропосферы вблизи Санкт-Петербурга). Для учета суточного цикла содержания  $NO_2$  в стратосфере полученные утренние и вечерние оценки вертикального содержания приводятся ко времени местного полудня с помощью фотохимической модели аналогично [5, 8, 9]. В целом погрешности рассматриваемых наземных измерений вертикального содержания  $O_3$  и  $NO_2$  определяются не столько погрешностью определения их наклонного содержания (которое составляет в среднем 0,7–0,8 и 1,4–2,0% для  $O_3$  и  $NO_2$  соответственно), сколько неопределенностью используемых коэффициентов AMF, за счет естественной изменчивости состояния атмосферы

(главным образом вертикального распределения содержаний  $O_3$  и  $NO_2$ ). Суммарные погрешности для используемого наземного метода составляют, по некоторым оценкам, 7 и 21% для содержания  $O_3$  и  $NO_2$  соответственно (см., например, [10]). В условиях сильно загрязненной тропосферы, т.е. повышенного содержания  $NO_2$  в приземном слое, оценка погрешности определения содержания  $NO_2$  во всей толще атмосферы возрастает до 40% [8].

## 2. Сопоставление с данными спутниковых измерений

Полученные в период с 2009 по 2013 г. результаты ежедневных наземных измерений содержания  $O_3$  и  $NO_2$  сравнивались с данными ближайших спутниковых измерений. В сопоставлении использовались данные таких спутниковых приборов, как GOME (Global Ozone Monitoring Experiment [11], спутник ERS-2), SCIAMACHY (Scanning Imaging Absorption spectrometer for Atmospheric CHartographY [12], спутник ENVISAT) и OMI (Ozone Monitoring Experiment [13], спутник AURA). Эти сканирующие спектрометры позволяют осуществлять глобальный мониторинг пространственного распределения содержания  $O_3$  и  $NO_2$  в атмосфере на основе надирных измерений уходящего видимого излучения с горизонтальным разрешением от  $\sim 300$  км для GOME, до  $\sim 60$  для SCIAMACHY и  $\sim 20$  для OMI. В настоя-

щей статье использовались данные GOME версии ESA ( $O_3$  и  $NO_2$ , <http://atmos.eoc.dlr.de/gome>), SCIAMACHY версии ESA ( $O_3$ , <http://atmos.caf.dlr.de/sciamachy>) и IUPB ( $NO_2$ , [http://www.iup.unibremen.de/doas/scia\\_no2\\_data\\_acve.htm](http://www.iup.unibremen.de/doas/scia_no2_data_acve.htm)) и данные OMI версии NASA ( $O_3$  и  $NO_2$ , <http://avdc.gsfc.nasa.gov>) над ближайшими к Санкт-Петербургу точками. На широте Санкт-Петербурга измерения тремя указанными приборами выполнялись практически ежедневно (измерения GOME прекратили в июле 2011 г., SCIAMACHY – в апреле 2012 г., OMI продолжает работу в настоящее время). В среднем для отобранных спутниковых данных время пролета и удаленность подспутниковой точки от Санкт-Петербурга составили  $12:30 \pm 0:30$  и  $(140 \pm 110)$  км для GOME,  $12:00 \pm 0:30$  и  $(40 \pm 25)$  км для SCIAMACHY,  $13:20 \pm 0:45$  и  $(25 \pm 25)$  км для OMI. Оценки погрешности определения содержания  $O_3$  составляют 2–5% для данных GOME, SCIAMACHY [14] и OMI [15]. Оценки погрешности определения содержания  $NO_2$  в отсутствие тропосферного загрязнения составляют 5–10% для данных GOME [14], SCIAMACHY [16] и OMI [17]; в условиях загрязненной тропосферы погрешность может достигать 50% [17].

Пример сопоставления результатов одновременных наземных и спутниковых измерений в районе Санкт-Петербурга представлен на рис. 1 в виде рядов среднедневных значений содержаний  $O_3$  и  $NO_2$  по данным наземных (СПбГУ) и спутниковых (OMI) наблюдений в 2009–2013 гг.

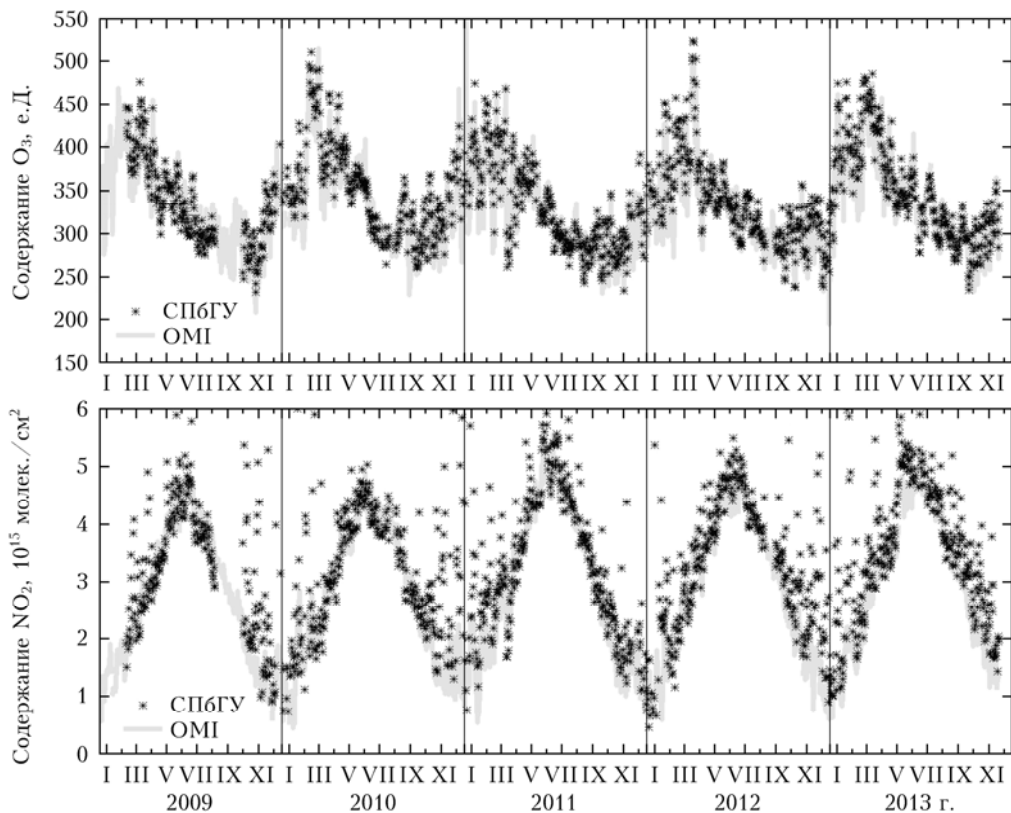


Рис. 1. Данные наземных (СПбГУ) и спутниковых (OMI) измерений  $O_3$  и  $NO_2$  в районе Санкт-Петербурга (Петродворец) в 2009–2013 гг. (для учета суточного цикла содержания  $NO_2$  результаты измерений приведены ко времени местного полудня)

Обе системы измерений воспроизводят характерную для данного широтного пояса сезонную изменчивость стратосферных содержаний  $O_3$  и  $NO_2$ : максимальное содержание  $O_3$  весной  $\sim 450$  е.Д. и минимальное осенью  $\sim 250$  е.Д., максимальное дневное содержание  $NO_2$  в середине лета  $\sim 5 \cdot 10^{15}$  молек./ $cm^2$  и минимальное в середине зимы  $\sim 1 \cdot 10^{15}$  молек./ $cm^2$ . В данных измерений  $NO_2$  заметны эпизоды существенных расхождений, заключающиеся в заметном превышении результатов наземных измерений относительно спутниковых. Такое высокое содержание  $NO_2$ , эпизодически регистрируемое наземным методом, связано с его повышенным содержанием в приземном слое, иногда наблюдаемым несмотря на сумеречную геометрию наземных измерений и значительное удаление от основных источников антропогенного загрязнения воздуха в центральной части Санкт-Петербурга.

В отличие от результатов наземных наблюдений, представляющих собой оценку общего содержания  $NO_2$  в вертикальном столбе (хотя и преимущественно в стратосфере), используемые здесь данные спутниковых измерений OMI в большей степени характеризуют стратосферную часть общего содержания благодаря специальным алгоритмам коррекции данных с учетом тропосферного вклада [18].

### 3. Анализ расхождений. Коррекция наземного метода

Результаты сопоставления данных спутниковых и наземных измерений в виде оценок средних расхождений и коэффициентов корреляции приведены в табл. 1. В сравнении использованы данные измерений спутниковых приборов GOME, SCIAMACHY и OMI. Для единства, с учетом прекращения работы приборов GOME и SCIAMACHY, рассматриваемый массив сопоставляемых данных ограничен периодом с января 2009 по июль 2011 г. Согласно приведенным в табл. 1 оценкам, результаты наземных измерений озона в среднем на 12–13% ниже спутниковых данных для всех рассматриваемых приборов (см. столбец «версия 1» в табл. 1). Стандартные отклонения от среднего расхождения составляют 4–5%, а коэффициенты корреляции – 0,91–0,95. Общий для трех различных спутниковых приборов характер средних расхождений, относительно низкие величины

стандартных отклонений и высокие коэффициенты корреляции указывают на систематическую ошибку в результатах наземных измерений содержания озона. В отличие от  $O_3$  данные наземных измерений  $NO_2$  оказываются существенно выше спутниковых – в среднем на 20–30% (см. столбец «версия 1» в табл. 1); при этом наблюдаются довольно высокие стандартные отклонения от средних значений расхождения (50–80%) и относительно низкие коэффициенты корреляции (0,5–0,7). Основной вклад в рассогласование сравниваемых данных измерений  $NO_2$  вносит отмеченное выше аномально высокое содержание, регистрируемое наземным методом в условиях повышенной концентрации  $NO_2$  в приземном слое.

Более детальный анализ результатов сопоставлений выявил следующий ряд параметров алгоритма интерпретации данных наземных измерений, вносящих систематическую ошибку в оценку содержания озона и требующих соответствующей коррекции:

1. Характерная температура спектральных коэффициентов поглощения  $O_3$  и  $NO_2$ . Более близкое согласие результатов наземных измерений со спутниковыми данными достигается при использовании только «холодных» коэффициентов поглощения, т.е. соответствующих средней температуре стратосферы ( $\sim 220$  К). Выявлено, что учет одновременно двух коэффициентов поглощения («теплого» и «холодного») приводит к увеличению расхождений между данными спутниковых и наземных измерений.

2. Степень полинома, описывающего эффекты рэлеевского и аэрозольного ослабления [ $P(\lambda)$  в уравнении (1)]. Использование полинома 3-й степени вместо 5-й, стандартно выбранной при интерпретации наземных измерений, сокращает расхождение со спутниковыми данными.

3. Степень полинома, описывающего инструментальные помехи спектральных измерений [ $offset(\lambda)$  в уравнении (1)]. Использование полинома 2-й степени вместо 0-й, стандартно используемой при интерпретации наземных измерений, сокращает расхождение со спутниковыми данными.

В качестве иллюстрации влияния каждой из этих модификаций алгоритма обработки результатов наземных измерений ниже приведены соответствующие им изменения эффективного (или так называемого наклонного) содержания  $O_3$  и  $NO_2$ .

Таблица 1  
Значения среднего отклонения  $\Delta$  и стандартного отклонения от среднего  $\sigma$   
для разницы «спутник – наземный прибор» в относительных единицах (%),  
а также коэффициента корреляции  $R$

Газ	Спутниковый прибор	$\Delta$		$\sigma$		$R$	
		Версия 1	Версия 2	Версия 1	Версия 2	Версия 1	Версия 2
$O_3$	GOME	+13,3	-0,6	4,8	5,4	0,93	0,94
	SCIAMACHY	+13,0	-0,8	3,9	4,8	0,95	0,95
	OMI	+11,5	-2,7	5,4	6,2	0,91	0,92
$NO_2$	GOME	-19,4	-16,6	77,7	78,0	0,47	0,46
	SCIAMACHY	-17,1	-14,0	51,4	52,9	0,65	0,64
	OMI	-30,7	-26,4	66,7	61,8	0,69	0,69

Эти оценки получены на основе анализа одного из измерений на заходе Солнца (зенитный угол  $90^\circ$ ) 17 февраля 2011 г. и представлены в табл. 2.

Таблица 2

**Влияние различных параметров алгоритма интерпретации наземных измерений на оценку содержания  $O_3$  и  $NO_2$  ( $q$ ) в атмосфере: температура коэффициентов поглощения ( $T_{\sigma(O_3)}$ ,  $T_{\sigma(NO_2)}$ ), степень полинома  $P(\lambda)$  и степень полинома  $offset(\lambda)$**

Газ	$q$ , молек./см <sup>2</sup>	$T_{\sigma(O_3)}$	$T_{\sigma(NO_2)}$	$P(\lambda)$	$offset(\lambda)$	$\Sigma^*$
$O_3$	$13,3 \pm 0,5 \cdot 10^{19}$	+13%	-1%	-8%	-4%	+21%
$NO_2$	$6,5 \pm 0,4 \cdot 10^{16}$	-3%	-2%	+6%	0%	-15%

\* Одновременно учитываются все модификации алгоритма.

Исходный выбор параметров здесь и далее обозначен как версия 1, а параметры и результаты работы модифицированного алгоритма — версия 2. В табл. 2 даны результат определения эффективного содержания  $O_3$  и  $NO_2$  (версия 1), а также его относительное изменение с учетом рассмотренных каждой отдельно и всех вместе модификаций ((версия 2 — версия 1)/версия 1). Эти модификации скзываются на результате определения содержания  $O_3$  и  $NO_2$  разнонаправленно. Так, определяемая ве-

личина содержания  $O_3$  увеличивается при переходе к использованию только «холодного» коэффициента поглощения  $O_3$  (+13%) и уменьшается при выборе полинома  $P(\lambda)$  меньшей степени (-8%). Величина  $NO_2$ , наоборот, растет при уменьшении степени полинома  $P(\lambda)$  (+6%) и уменьшается при использовании «холодного» коэффициента поглощения  $O_3$  (-3%). В целом при переходе от алгоритма версии 1 к версии 2 для рассмотренного измерения оценка содержания  $O_3$  увеличивается на 21%, а оценка содержания  $NO_2$  уменьшается на 15%.

В табл. 1 приведены оценки расхождений между спутниковыми данными о содержании  $O_3$  и  $NO_2$  и результатами наземных измерений, обработанными с помощью модифицированного алгоритма (столбцы «версия 2») в 2009–2011 гг. Новые наземные данные о содержании  $O_3$  оказываются существенно ближе к спутниковым: средние расхождения составляют 1–3% вместо 12–13%. Наземные данные о содержании  $NO_2$  также стали несколько ближе к спутниковым: среднее расхождение сократилось до 14–26% вместо 17–31%. При этом оценки стандартных отклонений от средних расхождений и коэффициенты корреляции между данными наземных и спутниковых измерений практически не изменились.

На рис. 2 представлен сезонный ход расхождений в виде их среднемесячных значений, рассчитанных для сопоставления с данными спутникового

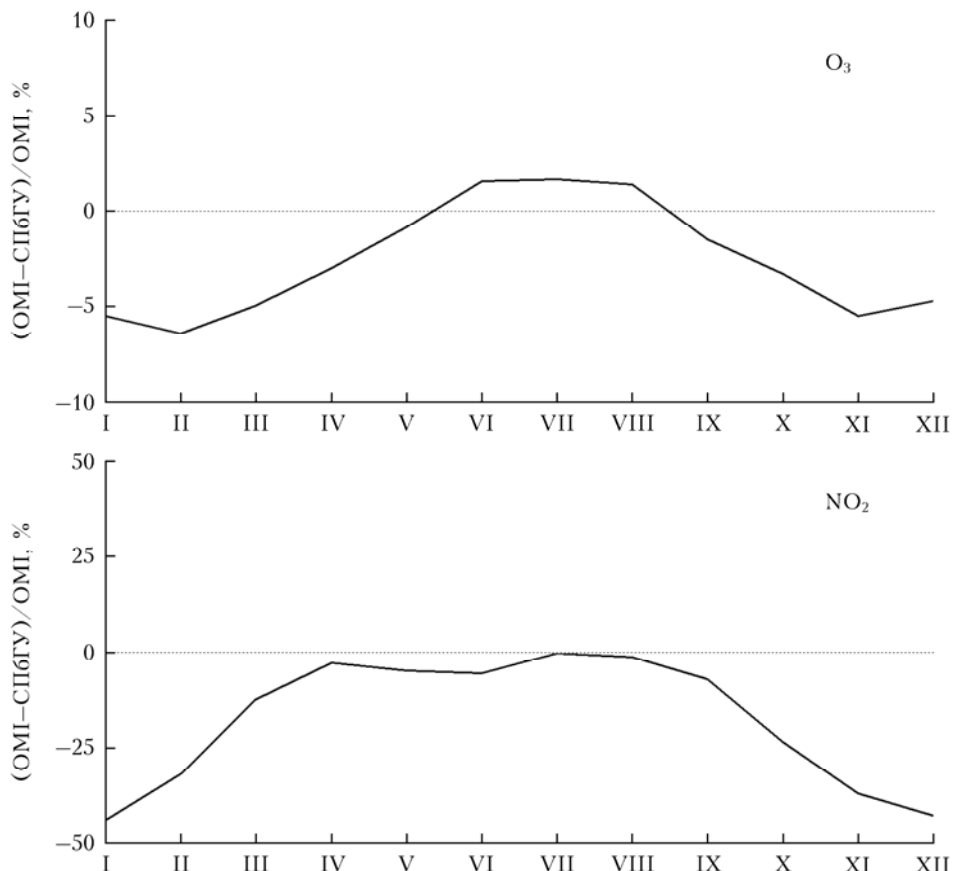


Рис. 2. Сезонный ход расхождений между данными спутниковых (OMI) и наземных (СПбГУ, версия 2) измерений  $O_3$  и  $NO_2$  в виде среднемесячных значений, рассчитанных для периода сопоставлений в 2009–2013 гг.

прибора OMI в 2009–2013 гг. Оценки среднего отклонения  $\Delta$ , стандартного отклонения от среднего  $\sigma$  и коэффициента корреляции  $R$  составили  $-2,8\%$ ;  $5,5\%$ ;  $0,92$  и  $-32,0\%$ ;  $63,5\%$ ;  $0,77$  для сопоставления с данными измерений  $O_3$  и  $NO_2$  соответственно. В среднем расхождения между данными спутниковых и наземных измерений (версия 2) существенно зависят от времени года и демонстрируют заметное превышение результатов наземных измерений над спутниковыми данными в зимнее время: до  $5\%$  для  $O_3$  и до  $45\%$  для  $NO_2$ . Высокие зимние значения  $NO_2$  в данных наземных измерений объясняются, главным образом, вкладом антропогенно загрязненной тропосферы (исключенным в спутниковых данных). При этом с апреля по сентябрь среднее расхождение со спутниками данными не превышает  $5\%$  (см. рис. 2). Вместе с тем характерные сезонные вариации расхождений, наблюдавшиеся в измерениях  $NO_2$  и  $O_3$ , могут быть также связаны с пренебрежением сезонной изменчивости (AMF) в наземном методе (в отличие от спутниковых алгоритмов, где эта зависимость учитывается). Учет сезонной изменчивости AMF в наземных DOAS-измерениях  $O_3$  и  $NO_2$  может существенно улучшить согласие со спутниковыми данными и, в частности, в настоящее время рекомендован к использованию на станциях международной сети NDACC. Так, аналогичное сопоставление спутниковых данных с результатами наземных DOAS-измерений  $O_3$  на ряде станций SAOZ показало существенное сокращение расхождений при использовании рекомендованного NDACC климатологического набора данных AMF [19]. Следует отметить, что характер сезонной изменчивости расхождений между данными спутниковых и наземных измерений  $O_3$ , выявленный нами (см. рис. 2), в целом идентичен результатам аналогичных сопоставлений, представленных в [19], где также показано, что эта изменчивость может быть существенно сокращена при использовании рекомендованного расчета AMF.

## Заключение

Наземные зенитные измерения спектров рассеянного видимого солнечного излучения позволяют реализовать относительно простой метод автоматизированных всепогодных наблюдений за общим содержанием  $O_3$  и  $NO_2$  в атмосфере (преимущественно в стратосфере). Подобные измерения непрерывно осуществляются вблизи Санкт-Петербурга (Петродворец) начиная с 2004 г. и служат для определения атмосферного содержания  $O_3$  и  $NO_2$  дважды в сутки (на восходе и заходе Солнца). Часть накопленного массива наземных данных (2009–2013 гг.), полученных по измерениям действующей в настоящее время аппаратуры, сопоставлена с данными спутниковых измерений в районе Санкт-Петербурга. Анализ сопоставлений выявил систематические расхождения, которые были частично устранены после внесения поправок в алгоритм интерпретации наземных DOAS-измерений. Так, в переработанных результатах наземных измерений в 2009–2011 гг. среднее отклонение от спутниковых данных сократилось

с  $12\text{--}13$  до  $1\text{--}3\%$  для содержания  $O_3$  и с  $17\text{--}31$  до  $14\text{--}26\%$  для содержания  $NO_2$ . Достигнутое сокращение расхождений в основном обусловлено выбором характерной температуры спектрального коэффициента поглощения озона и степени полинома, отвечающего за неселективное ослабление излучения в методике DOAS. Оставшееся расхождение имеет выраженный сезонный ход и может быть устранено использованием в наземном методе климатических воздушных масс (например, рекомендованных для станций международной сети NDACC [19]). Полученные нами результаты позволяют в дальнейшем переработать весь массив наземных DOAS-измерений и сформировать однородный непрерывный ряд наблюдений за общим атмосферным содержанием  $O_3$  и  $NO_2$  в районе Санкт-Петербурга с 2004 г. и по настоящее время.

Работа выполнена при поддержке Российского фонда фундаментальных исследований (проект № 14-05-00897, проведение и анализ результатов наземных измерений  $NO_2$ ) и Российского научного фонда (проект № 14-17-00096, проведение и анализ результатов наземных измерений  $O_3$ ).

1. Pommereau J.-P., Goutail F.  $O_3$  and  $NO_2$  ground-based measurements by visible spectrometry during arctic winter and spring 1988 // Geophys. Res. Lett. 1988. V. 15, N 18. P. 891–894.
2. Синяков В.П., Спекторов Л.А. Содержание озона и двуокиси азота в атмосфере северного Тянь-Шаня // Изв. АН СССР. Физ. атмосф. и океана. 1987. Т. 23, № 1. С. 20–25.
3. Елохов А.С., Груздев А.Н. Измерения общего содержания и вертикального распределения  $NO_2$  на Звенигородской научной станции // Изв. РАН. Физ. атмосф. и океана. 2000. Т. 36, № 6. С. 831–846.
4. Хайкин С.М., Игнатьев Д.В., Дорохов В.М., Померо Ж.-П., Мевиль О., Гутайл Ф., Ламберт Ж.-К. Исследования влияния геофизических факторов на измерения  $O_3$  и  $NO_2$  спутниковым прибором GOME. Сравнения с наземными измерениями прибором SAOZ в полярных широтах // Исслед. Земли из космоса. 2003. № 3. С. 1–11.
5. Поберовский А.В., Шашкин А.В., Ионов Д.В., Тимофеев Ю.М. Вариации содержания  $NO_2$  в районе Санкт-Петербурга по наземным и спутниковым измерениям рассеянного солнечного излучения // Изв. РАН. Физ. атмосф. и океана. 2007. Т. 43, № 4. С. 112–120.
6. Fayt C., van Roozendael M. WinDOAS 2.1 software user manual. Belgian Institute for Space Aeronomy. Brussels. 2001. URL: <http://uv-vis.aeronomie.be/software>
7. Rozanov V.V., Buchwitz M., Eichmann K.-U., de Beek R., Burrows J.P. SCITRAN – a new radiative transfer model for geophysical applications in the 240–2400 nm spectral region: The pseudo-spherical version // Adv. Space Res. 2002. V. 29, N 11. P. 1831–1835.
8. Ионов Д.В., Поберовский А.В. Двуокись азота в воздушном бассейне Санкт-Петербурга: дистанционные измерения и численное моделирование // Изв. РАН. Физ. атмосф. и океана. 2012. Т. 48, № 4. С. 422–433.
9. Ионов Д.В., Кшевецкая М.А., Тимофеев Ю.М., Поберовский А.В. Содержание  $NO_2$  в стратосфере по данным наземных измерений солнечного ИК-излучения // Изв. РАН. Физ. атмосф. и океана. 2013. Т. 49, № 5. С. 565–575.
10. Roozendael Van M., Maziere De M., Simon P.S. Ground-based visible measurements at the Jungfraujoch station

- since 1990 // J. Quant. Spectrosc. Radiat. Transfer. 1994. V. 52, N 3/4. P. 231–240.
11. Burrows J.P., Weber M., Buchwitz M., Rozanov V.V., Ladstätter-Weißenmayer A., Richter A., DeBeek R., Hoogen R., Bramstedt K., Eichmann K.-U., Eisinger M. The Global Ozone Monitoring Experiment (GOME): Mission Concept and First Scientific Results // J. Atmos. Sci. 1999. V. 56, N 2. P. 151–175.
  12. Bovensmann H., Burrows J.P., Buchwitz M., Frerick J., Noël S., Rozanov V.V., Chance K.V., Goede A.P.H. SCIAMACHY – Mission objectives and measurement modes // J. Atmos. Sci. 1999. V. 56, N 2. P. 127–150.
  13. Levelt P.F., Hilsenrath E., Leppelmeier G.W., van den Oord G.H.J., Bhartia P.K., Tamminen J., Haan J.F., Veefkind J.P. Science objectives of the Ozone Monitoring Instrument // IEEE Trans. Geosci. Remote Sens. 2006. V. 44, N 5. IGRSD2. P. 1199–1208.
  14. Loyola D., Zimmer W., Kiemle S., Valks P., Pedergna- na M. Product user manual for GOME total columns of ozone, NO<sub>2</sub>, tropospheric NO<sub>2</sub>, BrO, SO<sub>2</sub>, H<sub>2</sub>O, HCHO, OCIO, and cloud properties // DLR/GOME/PUM/01. Iss./Rev. 2E. 2012. Deutsches Zentrum für Luft und Raumfahrt. Oberpfaffenhofen. Germany. URL: [http://earth.esa.int/documents/700255/1525725/DLR\\_GOME\\_PUM\\_2E.pdf](http://earth.esa.int/documents/700255/1525725/DLR_GOME_PUM_2E.pdf)
  15. Bhartia P.K., Wellemeyer C.W. OMI TOMS-V8 Total O<sub>3</sub> Algorithm // Algorithm Theoretical Baseline Document: OMI ozone products. Ed. by P.K. Bhartia. V. 2. ATBD-OMI-02. version 2.0. 2002. URL:
- <http://eospso.gsfc.nasa.gov/sites/default/files/atbd/ATBD-OMI-02.pdf>
16. Richter V., Eyring J., Burrows P., Bovensmann H., Lauer A., Sierk B., Crutzen P.J. Satellite measurements of NO<sub>2</sub> from international shipping emissions // Geophys. Res. Lett. 2004. V. 31. L23110. DOI: 10.1029/2004GL020822.
  17. Boersma K.F., Bucsela E.J., Brinksma E.J., Gleason J.F. NO<sub>2</sub> // Algorithm Theoretical Baseline Document: OMI trace gas algorithms. Ed. by K. Chance. V. 4. ATBD-OMI-04. version 2.0. 2002. URL: <http://ozoneaq.gsfc.nasa.gov/media/docs/ATBD-OMI-04.pdf>
  18. Bucsela E., Celarier E., Wenig M., Gleason J., Veefkind P., Boersma K.F., Brinksma E. Algorithm for NO<sub>2</sub> vertical column retrieval from the Ozone Monitoring Instrument // IEEE Trans. Geosci. Remote Sens. 2006. V. 44, N 5. IGRSD2. P. 1245–1258.
  19. Hendrick F., Pommereau J.-P., Goutail F., Evans R.D., Ionov D., Pazmino A., Kyrö E., Held G., Eriksen P., Dordokhov V., Gil M., Van Roozendael M. NDACC/SAOZ UV-visible total ozone measurements: Improved retrieval and comparison with correlative ground-based and satellite observations // Atmos. Chem. Phys. 2011. V. 11. P. 5975–5995. DOI: 10.5194/acp-11-5975-2011.

**D.V. Ionov, Yu.M. Timofeyev, A.V. Poberovskii. Spectroscopic measurements of O<sub>3</sub> and NO<sub>2</sub> atmospheric content: Improvements to ground-based method and comparison with the data of satellite observations.**

The results of daily observations of O<sub>3</sub> and NO<sub>2</sub> atmospheric total content around St.Petersburg, retrieved from the automatic ground-based measurements of zenith-sky scattered visible solar radiation, are presented. The measurements acquired in 2009–2013 are compared with the data of satellite observations by the GOME (ERS-2), SCIAMACHY (ENVISAT) and OMI (AURA) instruments. Investigation of the disagreement revealed between the data of satellite and ground-based measurements allowed us to improve the ground-based method (DOAS technique) and reduce the average difference down to ~2 and ~20% for O<sub>3</sub> и NO<sub>2</sub> content, respectively. Remaining differences may be further reduced if the seasonal variability of calculated air mass factors is taken into account in the ground-based method.